

- Граница применимости классической механики. Критерий перехода к квантовой механике. Если элементарное действие сравнимо с постоянной Планка при большом шаге - классическая механика.
Если нужен маленький шаг - то квантовая
- Классическое и квантовые состояния одного объекта. (Элементы гильбертового пространства состояния). Формализм Дирака (Бра, кет векторы, операторы в этих базисах)
- Статистический характер квантовых состояний. Правило Борна. Измерение (НЕ ПУТАТЬ С НАБЛЮДЕНИЕМ). Измерение в разных базисах. Алгоритм квантовой томографии на примере 1 кубита
- Унитарная эволюция. Уравнение Шредингера и его решение. Решение через собственные состояния гамильтониана
- Унитарные и эрмитовые матрицы. Связь между ними. Матрицы Паули и их коммутационное соотношение
- Дискретизация непрерывных волновых функций. Операторы координаты, импульса, энергии и их собственные векторы и собственные значения. Дельта-функция Дирака. Уравнение Шредингера в непрерывной форме. Правило Борна для непрерывных волновых функций
- Матрица плотности в дискретном и непрерывном виде. Уравнение Шредингера для матрицы плотности. Понятие открытой квантовой системы. Квантовое основное уравнение. Пример решения квантового основного уравнения
- Координатный и импульсный базисы в пространстве состояний. Преобразование Фурье, как переход между ними. Основные свойства преобразования Фурье.
- Композитные квантовые системы. Тензорное произведение векторов, пространств и операторов. Относительная матрица плотности. Чистые и смешанные состояния. Теорема Шмидта. SVD разложение.
- Квантовые гейты: однокубитные, CNOT, CSign, Toffoli.
- Классические вычисления с оракулом. P и NP классы. Их сложности. Классы сложности. NP-полные задачи.
- Квантовый компьютер. Квантовый алгоритм, квантовый оракул. Использование анцилл при квантовых вычислениях. Квантовые вычисления с оракулом.
- Квантовый алгоритм Гровера во всех формах.
- Квантовое преобразование Фурье и его реализация в виде системы квантовых гейтов. Сложность квантового преобразования Фурье.
- Алгоритм поиска собственных значений Абрамса-Лloyd'a. Общая схема алгоритма Шора факторизации целых чисел.
- Алгоритм Залки-Визнера и его преимущество перед классическим методом моделирования квантовой динамики.
- Алгоритм квантовой телепортации. Запрет на клонирование квантовых состояний.
- Классическая и квантовая энтропия. Парадоксальное поведение квантовой энтропии.
- Квантовая нелокальность. Схема эксперимента по проверке квантовой нелокальности. Нарушение неравенства Белла
- Конечномерные модели квантовой электродинамики. Джейнс-Каммингс. Тавис-Каммингс, Тавис-Каммингс-Хаббард. Точный гамильтониан H_{JC} и приближение вращающейся волны (RWA)
- Понятие тёмных состояний для ансамблей двухуровневых атомов. Тёмное подпространство в точной модели и в RWA
- Оптическая проводимость графов. Оптическая темнота.
- Понятие о конечномерных моделях ассоциации-диссоциации абстрактных атомов.

1. Третья группа. Классы механизмов

Третий классификационный критерий определяет тип-е Кредиторов

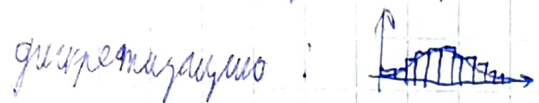
Критерий классификации с т.з. морга в залоге он имеет:

- ИМЗ Кредитор \Rightarrow Капитальная Морг
- ИМЗ Денежный \Rightarrow Платежеспособный

2. Класс. и квант. сост. подсистем. Р-зм. Дифракция

1) Квантовое сост. = суперпоз. классич.

Классич. сост. образ. квант. сост. $\psi(x)$ (конт. R^3), то это квантов. можно представить дискретизацию:



квант. сост.,

занумеровано $0, 1, 2, \dots, N-1 \Rightarrow$ ортонорм. баз.

Базисные вектора: $|0\rangle, |1\rangle, \dots, |N-1\rangle$, Вектор из этого набора - вектор в C^N (квант.)

коэффициенты вектора: $|\psi\rangle = \sum_{j=0}^{N-1} \chi_j |j\rangle$ χ_j -амплитуда (коэффициент Текущ.)

$|\psi(i)\rangle$ -вектор. q -ия от нач. коэф χ_i можно вывести дискретизацию, образ.:

Макс. базис. знако. коэф $x = x_0, x_1, \dots, x_N$ и $\psi(x) \approx \sum_{j=0}^{N-1} \psi(x_j) d_j(x)$ \rightarrow квант. q -ия j -го интервала

коэффициент d_j : $|j\rangle = \frac{dx}{\sqrt{dx}}$, а $\chi_j = \psi(x_j) \sqrt{dx} \Rightarrow$ получим представление (1)

2) Вектор в квант. ф.: $|\psi\rangle$ -кем, $\langle\psi|$ -она $\langle\psi| =$ сопряженный $|\psi\rangle$

Скал. произв.: $\langle\psi|\psi\rangle$, решившую можно запись: $M = \sum_{i,j=0}^{N-1} a_{ij} |i\rangle \langle j|$

M -матрица. и элем.

3. Способом кв. р. куб. форм. Куб. моногр.

1) Измерение - Суммирование, кратн. знач. $|j\rangle$ с вероятн. $|A_j|^2$
(составное значение $= |\Psi\rangle = \sum_{j=0}^{N-1} A_j |j\rangle$). [Приб. форм.: $p_j = |A_j|^2$]

Дан. Ψ или и отдельно статистическое кв-р кубич. состояния.

До момента измерения (или наблюдения), Ψ имеет макс. кол-во возможных определений. от измер (наблюд.) получим 1 состоян. вероятн., опр-шюб амплитудами. (Наблюдение получим не одно состоян., а это с. 37.)

2) Кв. моногр.: $\int \text{сост. кубика} \text{ ради} \cdot |\Psi\rangle = A_0|0\rangle + A_1|1\rangle$, вспомог. облг.

Физ. момент зач.: $e^{i\theta}$ (кем приложила звез). Измерение однократно кубиком, находим статистику, все возможные значения A_0 и $|A_1|$,
составим наим. ф.: среда амплитуды $|A_1|$ ($A_1 = |A_1|e^{i\theta}$). Далее
будет иметь другой фазы (кван. фаза: $|0\rangle = \frac{1}{\sqrt{2}}(|0\rangle + |1\rangle)$; $|1\rangle = \frac{1}{\sqrt{2}}(|0\rangle - |1\rangle)$),
измерение в них дает $\cos \theta$. Поменяв фазу еще раз (кван. $\frac{|0\rangle \pm i|1\rangle}{\sqrt{2}}$), находим
 $\sin \theta \Rightarrow$ знац. фс: $A_0, |A_1|, \theta$. (Перв. б. гр. фз: $|\Psi\rangle = \sum_{j=0}^{N-1} \langle \Phi_j | \Psi \rangle \langle \Psi | \Phi_j \rangle$)

4. Чинары. Экзамен. Ур. III. и дем. Дем. содом. соем. Текн.

1) Чин. ~~Базисы~~. - ~~Комплекс с окружением~~ (без измерений), напр.:

глобальный базис Ψ & заг. параметр. Поле. Могут выражаться частичные
примеч. по закону, где - это элемент ур-я Ш: $i\hbar/\psi = H/\psi$

Дем. заг. комм: $|\psi(t)\rangle = U_t(\psi(0))$, $U_t = \exp(-\frac{i}{\hbar}Ht)$ оператор эволюции (запись)
(изменение состояния при времени)

U_t воздействует не только на $|\psi(0)\rangle$, а на все возможные нач. $|\psi(0)\rangle$

2) В простом случае можно решить ~~задачу~~: задача с. физм. и с. физ. Изучение

пред. заг. З.: $|\psi(t)\rangle = \sum_{j=0}^{n-1} \lambda_j e^{-\frac{i}{\hbar}E_j t} |\psi_j\rangle$, $\lambda_j = \langle \psi_j | \psi \rangle$

5. Унитар. оператор. Свржн. операторы.

1) Унитар. оператор: соприм. единич. и ферм. впр-ва C^N

Эрмитова дамп: самосоприм. $H = H^\dagger \rightarrow$ вх с.в. образует орт.норм.

$\boxed{\exp(M) = I + M + \frac{M^2}{2!} + \dots}$, тогда HU -унитар. (H -эрмитова), $\exists K(U): U = \exp(iH)$

(пример: дамп. линии $S_\Psi = |\Psi\rangle\langle\Psi|$ - эрмитова, $\text{rang}=1$; $\text{trace}=1$)

2) С кнтр. дамп. свржн. оператор опред.: $(\delta_x, \delta_y, \delta_z)$

$$\delta_x = \begin{pmatrix} 0 & 1 \\ 1 & 0 \end{pmatrix}, \quad \delta_y = \begin{pmatrix} 0 & -i \\ i & 0 \end{pmatrix}, \quad \delta_z = \begin{pmatrix} 1 & 0 \\ 0 & -1 \end{pmatrix}, \quad \delta_x \delta_y = -\delta_y \delta_x = i \delta_z; \quad \delta_z \delta_x = -\delta_x \delta_z = i \delta_y$$

$$\lambda_{1,2} = -1, 1; \text{tr} = 0; \det = +1$$

$$[\delta_x, \delta_y] = 2i \delta_z, \quad [\delta_y, \delta_z] = 2i \delta_x$$

6. Фурье, оги. фур., квант., топол., алг. и т. д. С-р. ф. в квант., Пр. Фурье в квант.

1)  Запись дискретн. кван. состоян. $|0\rangle, |1\rangle, \dots, |N-1\rangle$ \Rightarrow ортогонорм. баз. Фурье для квантов. C^N

$$|\Psi\rangle = \sum_{j=0}^{N-1} \hat{a}_j |j\rangle \quad \text{дискретн. амплитуда} \quad |\Psi(N)\rangle - \text{Базисн. ф-я от кван. когеренц., дискретн.}$$

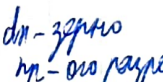
$$\Psi(x) \approx \sum_{j=0}^{N-1} \Psi(j) d_j(x) \quad \text{Миним. квант. когеренц. когеренц. } x_0, x_1, \dots, x_N \quad \text{периодичн. } d_j(x) = \frac{d_j}{\Delta x} |x - x_0 + j\Delta x\rangle \quad \Psi(x) = \sum_{j=0}^{N-1} \Psi(j) |x - x_0 + j\Delta x\rangle$$

Операторы: коопр.: $X: f(x) \rightarrow Xf(x)$ $X_{discr} = \text{квант. на дискретн.}$ ~~помощь предст. (1)~~

С. состоян.: физич. состоян. n -кубичн. состоян.: $|0\rangle, |1\rangle, \dots, |N-1\rangle$; С. когеренц.: $0, \frac{1}{N}, \dots, \frac{N-1}{N}$

В квант. форме имп. соотв. ф-я Фурье $\hat{\delta}_\lambda$: $\hat{\delta}_\lambda: f \rightarrow f(\lambda)$

Геометрически, это  - деление единичного кольца на N равн.-угловых

участков - нечисл., а численки $\delta_j(\lambda)$ конечн. величин $\frac{1}{\Delta \lambda}$  др.-запись квант. опис. разност.

$$\hat{\delta}_\lambda(t) = \frac{1}{2\pi} \int_{-\pi}^{\pi} e^{i(\lambda-1)t} dw \quad (\text{результат: } \delta = \begin{cases} +\infty, t=1 \\ 0, t \neq 1 \end{cases})$$

онер. кванты: $p: f(x) \rightarrow \frac{i}{\hbar} \nabla f \quad p_{discr} = A^{-1} QFT^{-1} \sqrt{N} x_{discr} QFT A \quad A = \text{diag}(e^{\frac{2\pi i}{N} ax})$

$$c. \text{ ф-я: } e^{\frac{ipx}{\hbar}}$$

$$c. f.: A^{-1} QFT^{-1} |a\rangle; c. g.: \sqrt{N} \left(a - \frac{1}{2} \right) \quad a = 0, \frac{1}{N}, \dots, \frac{N-1}{N}$$

$$QFT: |c\rangle \rightarrow \frac{1}{\sqrt{N}} \sum_{a=0}^{N-1} \exp\left(-\frac{2\pi i a c}{N}\right) |a\rangle; QFT^{-1}: |a\rangle \rightarrow \frac{1}{\sqrt{N}} \sum_{a=0}^{N-1} \exp\left(\frac{2\pi i a c}{N}\right) |c\rangle$$

$$2) \text{ Квант. физика: } i\hbar \dot{\Psi} = H(\vec{r}, \vec{p}), \vec{p} = \frac{i\hbar}{\hbar} \vec{\nabla}; \text{ квант. вероятн. когеренц.: } P(x \in \Delta) = \int_{\Delta} |\Psi(x)|^2 dx$$

7. Mary. Mary. Фундаментал., Ун. W. Mary. Ph., Омск. ф. унн., ког, член

1) $S = \sum_{i=0}^{N-1} p_i |\Psi_i\rangle\langle\Psi_i|$ - quant.; $S(x,y) = \sum_{i=0}^{N-1} \Psi(x)|\Psi_i\rangle\langle\Psi_i|y$ - term.

$[A,B] = AB - BA$
 $\{A,B\} = AB + BA$

$i\hbar \dot{S} = [H, S]$

$\nabla g = 0 \Rightarrow$ уравнение состояния

Определение кв. мом.: Марковский кв. процесс: Закон эволюции системы не зависит

от прошлого состояния систем (не имеет запоминающей памяти). Но способно вносить изменения в будущее состояние системы.

Марковский процесс с когом: $i\hbar \dot{S} = [H, S] + i\mathcal{L}(S)$; $\mathcal{L}(S) = \sum_{j=0}^{N-1} f_j (A_j S A_j^\dagger - \frac{1}{2} \{A_j^\dagger A_j, S\})$

A_j - операторы джонсона; f_j - коэффициенты джонсона джонсона.

8. Конг. и кван. дайсон Фурье-сумм, преобр. Фурье как квант. оператор. Сб. Ва № 4.

$$1) \text{Кван. преобр.: } f(x) \rightarrow \frac{1}{\sqrt{2\pi\hbar}} \int_{-\infty}^{\infty} \exp\left(\frac{-ipx}{\hbar}\right) \psi(p) dp = \Phi(p)$$

$$\text{Обр. преобр. } \Phi: \Phi(p) \rightarrow \frac{1}{\sqrt{2\pi\hbar}} \int_{-\infty}^{\infty} \exp\left(\frac{ipx}{\hbar}\right) \Phi(p) dp = f(x)$$

$$\text{Линейн. преобр.: QFT: } |c\rangle \rightarrow \frac{1}{\sqrt{N}} \sum_{a=0}^{N-1} \exp\left(-\frac{2\pi i ac}{N}\right) |a\rangle$$

$$\text{QFT}^{-1}: |a\rangle \rightarrow \frac{1}{\sqrt{N}} \sum_{a=0}^{N-1} \exp\left(\frac{2\pi i ac}{N}\right) |c\rangle$$

(Б-ва: • непрерывн. группопред. • умножение на аргумент (на const))

• Применение квантовых периодов (переход в Ф-сп-н от ω)

$$2) \text{Кван. фаз: } e^{ip_1 x}, \dots, e^{ip_N x}$$

$$\text{Конг. фаз: } \delta_{\lambda_1}, \dots, \delta_{\lambda_N}$$

$$U|q_i\rangle = \langle \tilde{e}^{iE_i t} |q_i\rangle$$

• обратные периоды $|E_i|=?$

Можно сказать, не зная знакоу, а просто имеет физический смысл.

Одни баз. разлом. по группам \Rightarrow конечн. обр. преобр. Фурье:

$$e^{ipx} = \sum_{\lambda} s_{\lambda} e^{i\lambda x} dq = \sum_{p} s_p(q) e^{ipx} d\lambda - \exists \text{ no } F^{-1}: \Phi(p) \rightarrow f(x) \quad F: f(x) \rightarrow \Phi(p) = \int f(x) e^{-ipx} dx$$

• преобр. Фурье

9. Гауссовы, КБ. симм. метр. простр. Вес., гг.-б., он-б., ортос. метр. простр. Числ. методы в квадратуре ТУМ, СУД

$$2) \text{Мн.-бл: } C^N \otimes C^M \Rightarrow |\psi\rangle \in C^N(C^M, \text{нн}) \quad |\psi\rangle = \sum_{j,k=0}^{N-1, M-1} \lambda_{jk} |jk\rangle \quad \text{онпр. (кванп.); } \begin{bmatrix} a_{11} & \dots & a_{1n} \\ \vdots & \ddots & \vdots \\ a_{n1} & \dots & a_{nn} \end{bmatrix}$$

Гауссовы (иматка!) дистрибуции представления: $|\psi\rangle \otimes |\Phi\rangle = \sum_{j,k=0}^{N, M-1} \lambda_j \mu_k |jk\rangle$ - симметричные

$$\mathcal{L}_1 \otimes \mathcal{L}_2 = \{ |a\rangle \otimes |b\rangle \text{ и их ком. подд.; } |a\rangle \in \mathcal{L}_1; |b\rangle \in \mathcal{L}_2 \}$$

Многопл: $T = T_1 T_2 \dots T_k \quad \forall q=1, \dots, k \quad T_q = \{ \langle \psi_i | q_{\alpha} | \psi_i \rangle \in H_i; \forall i \exists \leq 2 T_q: \text{нумер. инд.} = i \}$

$\prod T_j$ квантуется $\Rightarrow T = a |\psi_1\rangle \langle \psi_1| \dots |\psi_r\rangle \langle \psi_r|, \quad a \in C$, если на нобир2, то можно $|\psi_i\rangle \in \psi_i$

1) $\exists 2$ кванты в кванн. вспм.: $|0_1\rangle, \dots, |(k-1)_1\rangle$ и $|0_2\rangle, \dots, |(M-1)_2\rangle$ комб. Многа симм. 2

Этих квантов ищем вспм: $|j_1, k_2\rangle$, однол. глб. метр. простр. $|j_1\rangle \otimes |k_2\rangle$.

Плоского параллелепипеда 1-й квантует - може кванн. симм.

3) Ортос. метр. простр: различное выражение: изобр 1 кубик, симметричные не простр:

$$S_1 = t_{R_2}(S) = \sum_k \langle k | S | k \rangle \quad S\text{-кванп. простр. кванн. симм. } S = \sum_{j,j'',k,k''} p_{j,j'',k,k''} |j,j''\rangle \langle k,k''|$$

Т. Кубик: Норм. $|\psi\rangle$ кванн. симм. \exists куб. ортосора. базис: $|j_0\rangle, \dots, |j_{N-1}\rangle; |k_0\rangle, \dots, |k_{M-1}\rangle$ бл-бл-бл-

кванн. простр. $C^N, C^M: |\psi\rangle = \sum_{q=0}^s q_q |j_q\rangle |k_q\rangle, s=\min(N-1, M-1), \text{ а } q_q: \sum_{q=0}^s |q_q|^2 = 1$
 (здесь куб. куб-ку перв. запутавш. кванн. симм. симм. $|\psi\rangle \in C^N \otimes C^M$) (хочется ли это кванп.,
 д-р бл-бл (экспоненты))

SVD (сингл. т. куб.): $\forall M \in \mathbb{C}^{n \times n}: S M V = D$, S, V - унимодул., D - диагональны.

(представит M как куб. куб. A_{ij} из независимых, тогда $S^n V$ - кванп. решн. к $|j_i\rangle, |k_j\rangle$ базисам)

10. Квантовое число

Связано с физикой кван. мехн. Квант. чаш - универсальный оператор,

гдеибр. в нр-ке состояний 1, 2 или 3 кубиков, ком. можно реализовать физикой

Базис сам чаш полуя. $|y\rangle$ есть однокубик + разн. один 2-кубик. (нр. NOT)

(NOT: $|x, y\rangle \rightarrow |x, y \oplus 1\rangle$) (Sign: $(-1)^{xy} |x, y\rangle$) Toffoli: $T|x, y, z\rangle \rightarrow |x, y, z \oplus xy\rangle$

общ. баз. операт.: $\frac{a+c}{2} I + \frac{a-c}{2} G_z + b_1 G_x - b_2 G_y = \begin{pmatrix} a & b_1 + i b_2 \\ b_1 - i b_2 & c \end{pmatrix}$

70. Геометрическое представление NP-выражений.

1) Рекурсивное представление: $\{C_0, C_1, \dots, C_T\}$ компонента $C_0 \xrightarrow{F} C_1 \xrightarrow{F} \dots \xrightarrow{F} C_T$

T - константный аргумент F - rule Co

Базовый, конечный аргумент F и конечное Co
 C_T - некоторое конечное множество компонентов

$$|C_i| = \text{коэф. } C_i \text{ (query)} \quad T = C_F(C_0)$$

Сложн., F = max (коэф. C_i)

P. генеративный, однородный (за исключением времён) NP-выражения, то HDMT

2) Оракул: (например, предикатом) определяем термин с помощью оракула

$\xrightarrow{\text{query}} \Phi$ Оракул может обладать конечной сложн. (H.J. Leamer)

$C_0 \xrightarrow{F} C_1 \xrightarrow{F} \dots \xrightarrow{F} C_i \xrightarrow{\Phi} C_{i+1} \xrightarrow{F} \dots$ применение Оракула Φ . Геометрическое представление NP-выражений K Φ .
первое вспомогательное

3) NP-выражение - самое морфическое, к которому можно свести NP-выражение.

Классический пример: SAT-проблема одна фунд. опр. ф., задача нахождения $f(x)=1$?

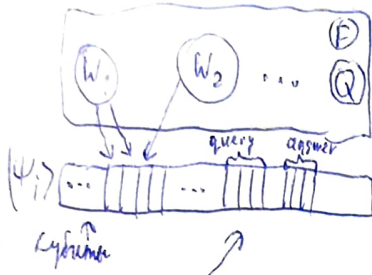
задача передается. (Одна из классических задач, для которых можно наименовать квадратичное ускорение.)
(автор: Гейберман)

12) Квант. конгр., физ., оракул, алгоритм, вектор с орак.

1) Квант. конгр.: 2 шаги: класс и квант. Пространство \mathbb{C}^n : n мерное
направление сим.

Конгр. - это универсальное обознач., замык. симметр. изображение квант. конгр.

Алгоритм. конгр. какое преобраз. нужно совершить



W_i - перестановка с унит. операторами

F - перестр. конгр. физик. ($=\pi \Rightarrow$ измерение)

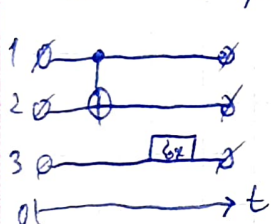
Q - пер. боярьска ($=\pi \Rightarrow$ принципиальный оракул) (см алгор. иноп.)

$$|\psi_0\rangle \xrightarrow[V_1(c_0)]{} |\psi_1\rangle \xrightarrow[V_2(c_1)]{} \dots \xrightarrow[V_t(c_t)]{} \text{измерение } V_t = W_1(1,2) \otimes W_2(3)$$

2) Оракул: нечна функ. физ. и компьем. оп: $\{0,1\}^n \xrightarrow{\text{оракул}} \{0,1\}^m$ оп - не всегда однозначн.

Q_{qp} - (Квантовый алгоритм Φ) $Q_{qp}[a, b] = |a, b \oplus \Phi(a)\rangle$ $Q_{qp}^2 = I$ биективно оракул.

База для Q_{qp} : $|\psi_0\rangle \xrightarrow[V_1]{\dots} |\psi_1\rangle \xrightarrow[C_1, Q^{a=1}]{\dots} |\psi_{i+1}\rangle \xrightarrow[Q_{qp}]{\dots} |\psi_{i+2}\rangle \xrightarrow[V_{i+2}]{\dots} \dots \xrightarrow[F=1]{\dots} |\psi_k\rangle \Rightarrow$ измерен.



3) Базис. с анцилла: ancilla - вспомогат. к. на квант.

деление, одновр. подавл. б. состоян. $|0\rangle|0\rangle\dots|0\rangle$.

- Она может запускаться с основной схемой \Rightarrow последовательность оракул.

$$|\chi_1\rangle \rightarrow |\chi_2\rangle = \boxed{\quad} \otimes \boxed{\text{анцилла}} \quad (\text{можно менять ее место расположения})$$

13. Решим. ам. Тройка бс бс. гр-ах

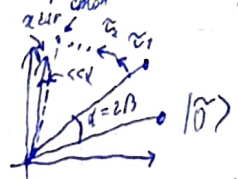
GSA - lab Trober & 1996. Задача бывала гр-ах $f(N)=1$ от нуля.

1) $y f(1)=1$ ровно $\tau = \frac{x_{tar}}{x_{tar}}$ для квадрат. касн. фигм $\geq N=2^n$ образ. $Kf(x)$ (переборн. задача)
на квадрат. касн. x_{tar} таког. $\tau = [\sqrt{\frac{N}{4}}]$ образ. $Kf(x)$ с морн. $= O(1/N^2)$

нагр-ло $L_R(1\bar{0}, 1x_{tar})$ - беск. $\cong R^2$
недр. отрасл. $I|x_{tar}+I/\bar{0}\rangle$
 $|1\bar{0}\rangle = \frac{1}{\sqrt{N}} \sum_{j=0}^{N-1} |1j\rangle$ $WH|1\bar{0}\rangle = |1\bar{0}\rangle$ $WH|0\rangle = |0\rangle$

Оператор Тройера: $G = -I|\bar{0}\rangle I/x_{tar}$

$|a|b\rangle = \begin{cases} |10\rangle, & a|1\rangle=0 \\ -|1a\rangle, & |a\rangle=1\bar{0} \end{cases}$ - опер. отражение
нп. ба кв. касн. фигм b)



$$\beta = \arcsin \frac{1}{\sqrt{N}}$$

$$d = 2 \arcsin \frac{1}{\sqrt{N}} \approx \frac{1}{\sqrt{N}}$$

G не имеет обратн., он лин. изображает L_R на грн. χ

Задача нахождения от. фигуры к нему:

$$\langle x_{tar}|G^\chi|1\bar{0}\rangle = 1 + \varepsilon$$

$$\varepsilon \sim \frac{1}{N^2}$$

2) $y f(l)$ ровно ℓ раз. и это известно.

$L_R(1\bar{0}, 1x_{tar})$ $|x_{tar}\rangle = \frac{1}{\sqrt{l}} \sum_{k=1}^l |1k\rangle$, замен аналог. 1), то $\beta = \arcsin \sqrt{\frac{l}{N}}$ $l \ll N$
иначе не получим ам. Помимо пакета,

$$\tau = [\sqrt{\frac{N}{4}}] \Rightarrow$$
 получим одно из решений.

иначе не
получим ам.
Помимо пакета

3) Несколько реш.: $\exists \tau_0 = 2$, дальше параллельны $= 3, 4, \dots$ $\tau_5 = \left[\left(\frac{3}{2}\right)^5 \cdot 2 \right]$ - принципиально
различно сколько раз.

записано фигуру, но различна фигура:

Более сложное ограничение $O(\sqrt{\frac{N}{2}})$

24. Квантовые преобразования. Фурье, квадратур, Бомб.

Фурье с дистрингулированным ф-лом. Пример. Фурье: $f(\omega) \rightarrow \frac{1}{\sqrt{2\pi\hbar}} \int_{-\infty}^{\infty} \exp(-i\omega t) f(t) dt = \hat{f}(\omega)$

Квадр. Фурье неприводим в базис ф-лов Фурье: $\delta_{\lambda}(t) = \frac{1}{2\pi} \int_{-\infty}^{\infty} e^{i(\omega-\lambda)t} f(\omega) d\omega$ $\hat{F}\text{урье}^{-1} = \dots$

QFT: $|a\rangle \rightarrow \frac{1}{\sqrt{N}} \sum_{c=0}^{N-1} \exp(-2\pi i ac/N) |c\rangle$

$QFT^{-1}: |a\rangle \rightarrow \frac{1}{\sqrt{N}} \sum_{c=0}^{N-1} \exp(2\pi i ac/N) |c\rangle$

Университет и обратное.

Фурье: $\begin{cases} +\infty, p=0 \\ 0, p \neq 0 \end{cases}$

Реализация на реальном QFT⁻¹ (когда QFT не либо, то в обр. порядке)

$$\begin{aligned} a &= a_0 + a_1 2 + \dots + a_{n-1} 2^{n-1} \\ a &= b_0 + b_1 2 + \dots + b_{n-1} 2^{n-1} \end{aligned}$$

$$a|b = \frac{1}{\sqrt{N}} e^{i\theta(a,b)}$$

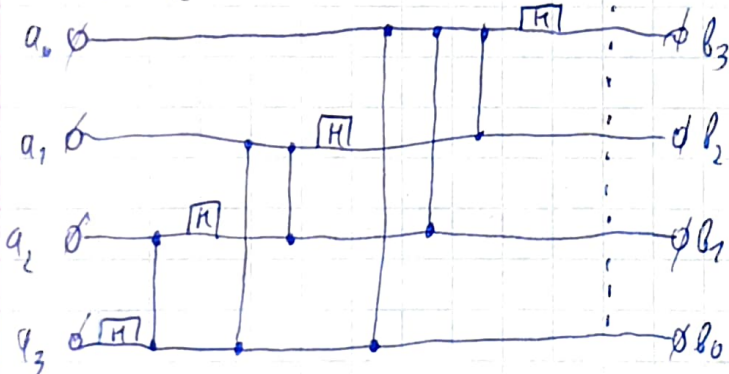
Базис в базисе: 1) $a_m | = \sum_{j=0}^{m-1} a_j | b_j \rangle$

$$2) \text{ для } j: \sum_{k=n-j}^n a_k b_{j-k} = \sum_{k=n-j}^n e^{i\theta(a_k, b_{j-k})} = 2\pi \sum_{k=n-j}^n a_k b_{n-1-k}$$

$$\text{Итого: } \sum_{k=n-j}^n e^{i\theta(a_k, b_{j-k})} = \theta(a, b) = \frac{2\pi a b}{N}$$

Двухстороннее QFT: назначим первоначальный базис

$$\sum m_j$$



Бомб.: квадратурный n^2

15. Алг. поиска с. зв. кпр.-множ. Одн. сх. алг. Мора

QFT₂ (Ucond - кпр-обр. алг.-алг.) $Uy(x) = |x \cdot y \text{ (mod } q)|$ y - простое \Rightarrow о.к.

Будущее ед.согр. \Rightarrow делителеи Ракторизация: ~~q~~ $q = q_1 \cdot q_2$

$y \equiv 1 \pmod{q}$ y - агр. басн. число из $\{0, 1, \dots, N-1\}$ $N = 2^n$, $2^{n-1} \leq q < 2^n$

$y^r - 1 \equiv 0$; $y^r - 1 = q \cdot s$; есть r -ий член: $(y^{\frac{r}{2}} - 1)(y^{\frac{r}{2}} + 1) = q \cdot s \Rightarrow$ одна из скл.

с фактор. басн.-ю делитель $q \Rightarrow$ заг. сбог к максимуму r .

QFT₂ (Uy)cond ($\Psi > \bar{\delta}$) - находим собств. знач. оператора и через них - r ,

алгор. $\xrightarrow{n^2 \text{ итераций } N}$ $\xrightarrow{\text{нет вырождения, то есть } U\text{cond реализует } \text{задачу для } y, \text{ потому что}}$ $y^p, \dots, y^{2^p} \Rightarrow$ максимум n
алгор.: $O(\log^2(\log n)^3)$ $n = \log q$ $(\text{экспоненциальное применение})$

16. 09.2. Задача - Вибратор и его представление по спектру.

Блоксхема Z моделир. квантовой задачи (обобщение Фурье на квантовую задачу, строим)

На кванц. ядре Фурье, вспомогащая оп-ная гамильтон.

Одн.чл. от пол. упр-я Упр-я: Молоко, это алгебра. Идея не берется погреш.,
Фурье. оп-ия: $\langle \psi(t) \rangle = \sum_{j=0}^{N-1} \lambda_j |j\rangle$ а модельируется
кванц. ядром, гамильтон.
кофакт. оп-ия: $|j\rangle = |0\rangle, |1\rangle, \dots, |N-1\rangle$

При аппроксимации: одн.чл. ядерн. энрг.: $V = \text{diag}(V(x_0), V(x_1), \dots, V(x_{N-1}))$ $x_k = \sqrt{N} z_k$

Фурье.

Кванц. ядро: $K_{\text{diag}} = \text{diag}\left(-\frac{\hbar^2 p_0^2}{2m}, \dots, -\hbar^2 (p_{N-1})^2 / 2m\right)$, $p_k = \sqrt{N}(x_{k-1/2})$

$K = A^{-1} QFT^{-1} K_{\text{diag}} QFT A$ - коопр. даете; $A = \text{diag}(\exp(i\alpha_a))_{a=0,1,\dots,N-1}$

В кванц. ядре: $\exp(-iVt/\hbar)$, предп. $t \rightarrow \infty$ для

Использование оп-ия. Правило: $\exp(A+B) \approx [\exp(Adt) \exp(Bdt)]^{t/dt}$

Написано авт. Z: $U_t = \exp\left(-\frac{i}{\hbar} V t\right) \approx \left[\exp\left(-\frac{i}{\hbar} K dt\right) \exp\left(-\frac{i}{\hbar} V dt\right)\right]^{t/dt}$

Надо ли учит. гамильтон с кванц. замедлением, то! Предполагается что

Гамильтон-ад 1 степени от места линейные гамильтон, тогда как в кванц.

Методах науки мы находим экспоненциальность.

17. Физ. квантовая. Задача на класс.

1) Класс. информация - некоторая наименование. Класс. состояния, неприводимые модульные алгебры. Абсолютная информация. Абсолютная информация: $\text{ЭИР-датч} = \frac{1}{\sqrt{2}}(|0\rangle\langle 0| + |1\rangle\langle 1|)$.

Абсолютная информация (если много, то класс. информации): $|\Psi_C\rangle$ - универсальная (если много, то класс. информации)

или кубит в сим. $\frac{1}{2}|0\rangle + \frac{1}{2}|1\rangle$. Алгоритм: 1) $CNOT(|GA\rangle)$; 2) $H(|C\rangle)$; 3) AC (установка направления рег. измерения) $A=C=0 \Rightarrow$ в сим. форме у дата, управление:

$$\text{СХема: } |\Psi\rangle = \frac{1}{\sqrt{2}}(|100\rangle + |110\rangle + |001\rangle + |111\rangle) \xrightarrow{\text{сигнал}} H_C \xrightarrow{\frac{1}{2}(A|000\rangle + A|001\rangle + A|110\rangle + A|111\rangle + H|000\rangle + H|001\rangle + H|110\rangle - H|111\rangle)} \begin{array}{l} 01 \Rightarrow G_2 \\ 10 \Rightarrow G_X \\ 11 \Rightarrow -G_2 G_X \end{array}$$

2) Чистый датчик класс. состояния, что можно измерить у битов. Это неизбежное ограничение на квантовование класс. состояния. \nexists универсальный оператор U : $U|\Psi\rangle|0\rangle = |\Psi\rangle|U\rangle$

$$|\Psi\rangle = \frac{1}{\sqrt{2}}(|0\rangle + |1\rangle) \quad U|\Psi\rangle|0\rangle = \frac{1}{\sqrt{2}}(|0\rangle + |1\rangle) \stackrel{?}{=} \frac{1}{2}(|00\rangle + |10\rangle + |01\rangle + |11\rangle) \quad \xrightarrow{U|00\rangle = |00\rangle} \text{правильное!}$$
$$U|10\rangle = |11\rangle \quad U\frac{1}{\sqrt{2}}(|0\rangle + |1\rangle)|10\rangle = \frac{1}{\sqrt{2}}(U|00\rangle + \frac{1}{\sqrt{2}}U|10\rangle) = \frac{1}{\sqrt{2}}(|00\rangle + |11\rangle)$$

18. Класс. и квант. энтропия Гергес. рабд. 18. Энтр.

Энтропия - степень хаоса. $\tilde{P} = (p_0, \dots, p_{N-1})$ - час. Вер-стя наклон. распред
в квант. сист. x_0, x_1, \dots, x_{N-1} , то энтропия: $Sh(\tilde{P}) = \sum_{i=0}^{N-1} p_i \ln(p_i)$

Обобщение энтропии на квант. сист.: $N(S) = -\underbrace{\text{tr}(S \ln S)}_{\text{норм. коэф.}} = \text{энтр. опр. Ренка.}$

Энтр. Ренка сист. = 0 (В квант. будж $|i\rangle\langle j|$, где $|i\rangle$ - единичный вектор)

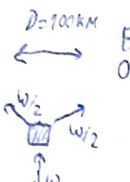
Удалим 2-й кубик из бильярдного наст. \Rightarrow 1 кубик в оставшемся сист.

$S_1 = \text{tr}_2(|\Psi\rangle\langle\Psi|)$ и $N(S_1) = \ln(2)$. Но есть, если все ячейки (кубки) 2-й

кубик, то энтропия уменьшится.

79. Квант. механика. Сх. эксперим. Барьер. первая фаза.

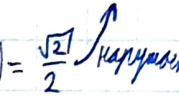
Квант. механ. или квант. физиодинм.: фазонес & соот. $|EPP\rangle = \frac{1}{\sqrt{2}}(|100\rangle + |111\rangle)$

Ло  А и Б движутся друг к другу со скоростями v_A и v_B . За 1 час до столкновения фазонес частиц А и Б окажутся в одинаковом ориентировании:

$$A: |\psi_A\rangle = |\psi_A\rangle, B: |\psi_B\rangle = \frac{|\psi_B\rangle + |\psi_B\rangle}{\sqrt{2}}$$

Ло ξ -штур. велич. = произведение перп. измер. А и Б со знаком - если ψ_A и ψ_B в одинаковом состоянии

$$\xi = \begin{cases} a \cdot x & 1/4 \\ a \cdot y & 1/4 \\ b \cdot x & 1/4 \\ b \cdot y & 1/4 \end{cases} M(\xi) = \frac{1}{4}(ax + ay + bx + by) \leq \frac{1}{2} \text{ (пер. в баллы)}$$

Значит. Мат. ожид. сущ. это у нас ЭПР: $(\langle H \rangle_\Psi = \langle \Psi | H | \Psi \rangle) M(\xi) = \frac{1}{4}(H(ax) + H(ay) + H(bx) + H(by)) = \frac{\sqrt{2}}{2}$ 

Ло ~~для исч-ия~~ Четвертое то, что ξ -а.бел. $\langle ax \rangle_{\text{ЭПР}} = \frac{\sqrt{2}}{2} = \langle ay \rangle_{\text{ЭПР}} = \langle bx \rangle_{\text{ЭПР}} = -\langle by \rangle_{\text{ЭПР}}$

Сущ. величине, относящейся к Б, забыл не только от Барьер. элементарн. исход, но и от Акеллонея, и наоборот. Значит ξ некий объект $\tilde{\omega}$, ком. переносит измер. с измерениями А и Б вместе (скор. съема \Rightarrow это не скрывает паралл. гравит.).

Ло никакого классич. измерен. передавать такие объекты нельзя.

Согласно измер. ξ не зависит от факта измерения Б.

20. Концепт. мод. волнист. электроподж. JC , TC , TCH , TMH , RWA ,

1) Уп-я Максвелла можно свести к набору связн. ур-й групп гармон. осцилляторов.

Принципиальная схема. Применяя Фурье, можно свести к набору осцилляторов, как

хар-сл опр. модой (пара (\bar{P}, \bar{E}) , \bar{P} - импульсная, \bar{E} - квант. пол. колебаний).

Взаимодействие гарм. осцилл. \Rightarrow мода распл. на времена добр. моды: \bar{P} - импульс времена

добротные τ моды неравнозначны \Rightarrow базисн. состоян. 1-й моды: $|n\rangle$, n -число добротных моды

2) JC : Появление зеркальной, в неё амплитуды и времена, при взаимод. с модой.

$|0\rangle$ -ам. основной; $|1\rangle$ -воздушный. (декогер.- врем. помех проникает из-за своего интегрирующегося прихода)

Энерг. взаимод. моды: $g = \sqrt{\frac{\hbar\omega}{V}} dE(n)$; d -акт. блокир. добр. моды. $|0\rangle$ и $|1\rangle$ $E(n)$ -частота в колесе

Операторы: $a: |n\rangle_{ph} \xrightarrow[n]{\text{норм.}} |n-1\rangle_{ph}$; $a^\dagger: |n\rangle_{ph} \xrightarrow[n]{\text{норм.}} |n+1\rangle_{ph}$; $\hat{J}: |0\rangle_{at} \rightarrow 0$; $|1\rangle_{at} \rightarrow |0\rangle_{at}$; $\hat{J}^\dagger: |0\rangle_{at} \rightarrow |1\rangle_{at}$; $|1\rangle_{at} \rightarrow 0$

$H_{JC} = \hbar\omega a^\dagger a + \hbar\omega \hat{J}^\dagger \hat{J} + g(a^\dagger + a)(\hat{J}^\dagger + \hat{J})$ - морсий (примен. если разн. амплитауды \ll частота)

RWA-прибл.: норм. велич. $\rightarrow g(a^\dagger \hat{J} + a \hat{J}^\dagger)$ (примен. если $\frac{g}{\hbar\omega} \ll 1$)

3) TC : JC , но группа n 2-уп. амплитуд с энергиями g_1, g_2, \dots, g_n . $\hat{J} = \sum_{j=1}^n g_j \hat{J}_j$; $\hat{J}^\dagger = \sum_{j=1}^n g_j \hat{J}_j^\dagger$

$H_{TC} = H_c + \hbar\omega \sum_{j=1}^n \hat{J}_j^\dagger \hat{J}_j + (a^\dagger + a)(\hat{J}^\dagger + \hat{J})$; RWA: $(a \hat{J}^\dagger + a^\dagger \hat{J})$

4) TCH : TC , но некр. навески + взаимодействие; H_{TC}^i - 2-уп. ТК i -яя навески N^i ; $i = 1, 2, \dots, m$

$H_{TCH} = \sum_{i=1}^m H_{TC}^i + \sum_{1 \leq i < j \leq m} M_{ij} (a_i^\dagger a_j + a_i a_j^\dagger)$; M_{ij} - антимутуант некр. врем. из i & j

27. Нелин. сист. 2-го ур. ам. Модел. подгруп. в методе RWA

Нелин. сист.: нелинейный отвезд фазового пространства с модул. (рассл. TC)

Сингулярн. $|S\rangle = |0\rangle - \frac{1}{\sqrt{2}}|0\rangle$ при $g_1 = g_2$ — минималь., не используем греч.

И близк. ам. используем \Rightarrow ненулев., $\mathcal{L}_2 a^\dagger \Rightarrow |0\rangle_{ph}|S\rangle \rightarrow |1\rangle_{ph}|00\rangle - |1\rangle_{ph}|00\rangle \Rightarrow$ ненулевое не физич.

Нелин.: не ненулев. ф.; прогресс.: не нормал. ф.; нелинейн.: не нормал., не ненулев.

Решение: 1) RWA: $\text{Dark}^{\text{RWA}} = \ker(\mathcal{J})$; $\text{Trans}^{\text{RWA}} = \ker(\mathcal{J}^\dagger)$; $\text{Invis}^{\text{RWA}} = \text{Dark} \cap \text{Trans}$

2) метод.: Onep. ненулев. греч; $\mathcal{J}^\dagger + \mathcal{J} \Rightarrow \text{Dark} = \text{Trans} = \text{Invis} = \ker(\mathcal{J}^\dagger + \mathcal{J}) = \ker(\mathcal{J}) \cap \ker(\mathcal{J}^\dagger)$
 $\text{Dark} = \text{Invis}^{\text{RWA}}$

22. Опт. проводим. градов. Опт. трансформ

Граф G : в вершинах плюсости, ребра - векторы - огибающие проводимость H .

Базисн. вспл.: начер. верш., в ком плюс. греческ. $|i\rangle$ $i=1, \dots, N$

Из верш. N есть сингл (singl) - генератор.

Равноз. фрм. в $|1\rangle$ и $\text{результат упр с греческ. декстр.} \Rightarrow$ матриц. форма $P(t)$

вер. и то фрм. входит в генератор в мом. врем t : $P(t) = (\sin k / S / \sin k) - \frac{\text{р-ия}}{\text{расп.}}$
опт. проводимость - ф-ия $\frac{\text{врн. проводим.}}{\text{установка}}$

Типомега: 1 опт. проводим. 2 градов при некот. фиксации плюс.

и концов однакова при измене. стока $Y_{out} \Rightarrow$ эти градов изоморфны

Опт. трансформ: $P(t)=0$. Второйй 2 $\overset{G_1, G_2}{\cancel{\text{ребра}}}$ града с концами искажены $O_1 O_2$
 $(N-1)(N-1)$

Однократных их концов \Rightarrow базисной гр. G . Равноз. сингл (s) распред. по верш. $O_1 O_2$

и фиксированные фрм. базисн. из конца G . Если проводимость $G_{1,2}$ - однакова, то

и нормаль симметрична, приведи. к концу G , через G_1 сократим с некот. же конц. гр. G_2

и $P(t)=0$, иначе $\neq 0$ и недоказано. ф-ия.

Лин. опт. изол. гр.: в 1 вычищим мат. икон., в 2 перебираем все возмож. врем. и делаем

Задач.: \uparrow раз. задача есть: а) типомега вершина
б) авт. губст. генератора.

если $P(t)=0$ где-то, то отт. изоморфна

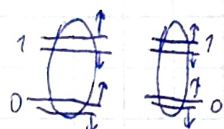
23. Концепт. мозг. архит-ки. Алемп. аномал

Аномал. хлам. морф, схл. дупл с другим определением. Могут перемеж.

Фот. и Электропок: криптомасти; перек. Электропок с ур. на ур. в зан. морфе

С нормой. или инач. форма; перек. фот. от 1 Т. к другое.

Чел. МТС из КД и предстад.reakции асс-кии.



Суть: Внз или ввнз Слияние (\Rightarrow разные спосо

бованическая Т. (И иен. недостаток \Rightarrow с.сомн. нейр. ур. III.)

(2) сливание аномал

Схема: 1) нормально подходит с ур. (0) на ур. (1); 2) когда $|q_0^{21}| \uparrow$ и $|q_0^{21}| \downarrow$ \Rightarrow кавалическ
сиг

Нем. турникурования, обнажение шейки - - альтернатив

дислокации: то же самое, но в обратном порядке (расположение \rightarrow разрыв)

$$\mu = \rho \left[\delta_{dist}^+ \delta_{dist} + h_w \delta_{cov}^+ \delta_{cov} \right] + g_{cov}(a \delta_{cov}^f + a^+ \delta_{cov}) cond(dist=0) + M_T y_H cond(cov=1)$$

норм. выраж. аномал $\xrightarrow{\text{черт. выраж. аномал}}$ 2 ам. 1 злокупрот $n_k \leq 30$ ~ минимальное количество

На одной ур-ке не могут быть злокупрот с одинак. структур.